

### 4.3. Основни методи за спектрален анализ на преобразуваните сигнали в нелинейна безнерционна верига

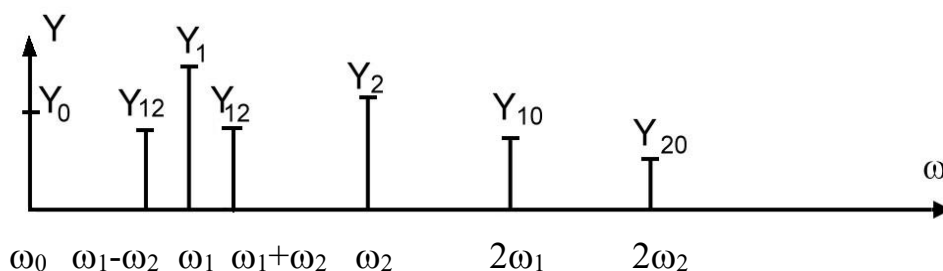
При изследването на безнерционните вериги може да не се отчита крайната дължина на реалните сигнали, тъй като преходни процеси в такива вериги не възникват. Основните методи за спектрален анализ на преобразуваните сигнали са следните:

*А/ Метод за спектрален анализ основан на използване на тригонометрични формули*

Формулите за кратни дъги и формулите за произведение на синуси и косинуси се използват за хармоничен и спектрален анализ при апроксимация на характеристиката на нелинейните елементи със степенен полином.

В раздел 4.2 бе разгледан пример при въздействие с монохармоничен и бихармоничен сигнал.

Получените резултати не се нуждаят от коментар. Ще допълним само, че спектрите на входния и изходния сигнал е прието да се представят с диаграми, които се наричат *спектрограми*. Спектрограмите не отразяват мащабните съотношения между амплитудите на отделните колебания, като фазите на последните при необходимост могат да се дадат с цифри. За илюстрация, за случая с бихармонично въздействие, на фиг. 4.7 е построена съответната спектрограма въз основа на получените преобразувани честоти.



фиг. 4.7

*Б/ Метод за спектрален анализ, основан на използването на формулите за три и пет ординати*

Формулите за трите и петте ординати се използват главно при графични изчисления, а също и при аналитични, за апроксимиращи функции неподходящи за интегриране.

Формулите за трите ординати позволяват да се намерят приблизително стойностите на постоянната съставляваща  $I_0$  и

амплитудите на първите две хармонични на анализираният колебание  $I_2$ . Този метод е сравнително точен, когато проходната динамична характеристика е много близка до парабола; тъй като в този случай третата и четвъртата хармонични са с много малки амплитуди и могат да бъдат пренебрегнати.

Нека на входа на нелинейния елемент действа косинусоидално напрежение. Характеристиката на нелинейния елемент е показана на фиг. 4.8.

В този случай токът, в общ вид, може да се запише по следния начин:

$$i = I_0 + I_1 \cos 2 \omega t + I_2 \cos 2 \omega t \quad (4.21)$$

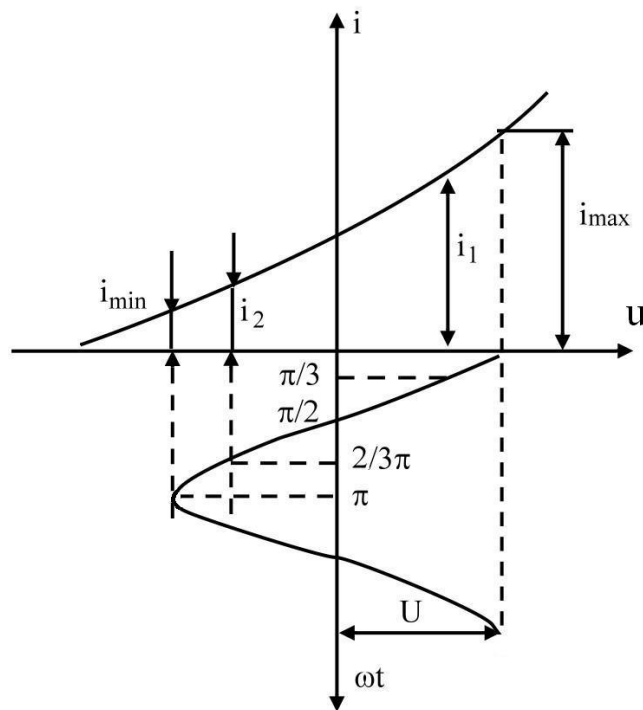
Върху графиката се фиксират три ординати за три предварително избрани характерни точки:

$$\begin{array}{lll} i_{max} & \text{при } \omega t=0 & ; \quad u = U \\ i_n & \text{при } \omega t=\pi/2 & ; \quad u = 0 \\ i_{min} & \text{при } \omega t=\pi & ; \quad u = -U \end{array}$$

Замествайки получените стойности в 4.21 се получава система от три уравнения

$$\left\{ \begin{array}{l} i_{max}=I_0+I_1+I_2 \\ i_n=I_0-I_2 \\ i_{min}=I_0-I_1+I_2 \end{array} \right. \quad (4.22)$$

Решавайки тази система спрямо  $I_0$ ,  $I_1$  и  $I_2$  се определят големините на съответните хармонични.



фиг. 4.8

Ако възникне необходимостта за определяне на хармоничните от по-висок порядък се използват формулите за петте ординати. Последните позволяват да се намерят приблизително стойностите на постоянната съставяща и амплитудите на първите четири хармонични. За съставянето на уравненията на петте ординати, освен указаните по-горе стойности, се намират още стойностите на токовете при  $\omega t = \pi/3$  и  $\omega t = 2\pi/3$  (фиг. 4.8.). Токът, в този случай, се представя по следния начин:

$$i = I_0 + I_1 \cos \omega t + I_2 \cos 2\omega t + I_3 \cos 3\omega t + I_4 \cos 4\omega t \quad (4.23)$$

В съответствие с графиката на фиг. 4.8 се съставя съответната система от уравнения (аналогично на 4.22), от която се определят амплитудите на  $I_0, I_1, I_2, I_3$  и  $I_4$ .

Както вече стана ясно, в резултат на нелинейното преобразуване на сигналите, освен полезните продукти винаги се появяват и вредни, които са причина за изкривяване на формата на изходния сигнал. Тези изкривявания се наричат *нелинейни*, като за тяхната оценка се въвежда тъй наречения *коэффициент на нелинейни изкривявания к* (*клир-фактор*). Той е равен на отношението на средноквадратичната амплитуда на всички висши хармонични отнесени към амплитудата на сигнала, който се приема за полезен:

$$k = \frac{\sqrt{y_2^2 + y_3^2 + y_4^2 + \dots + y_n^2}}{y_1} \quad (4.24)$$

Важно е да се отбележи, че коефициента на нелинейни изкривявания расте с увеличаване на амплитудата на входния сигнал.

*В/ Метод на ъгъла на отсечка.* Този метод се използва, когато волт-амперната характеристика на активния прибор е апроксимирана с отрезки от прави линии и същият работи в режим различен от клас А. По тази причина този метод намира приложение при пресмятане на мощни усилватели, генераторни устройства и умножители на честота.

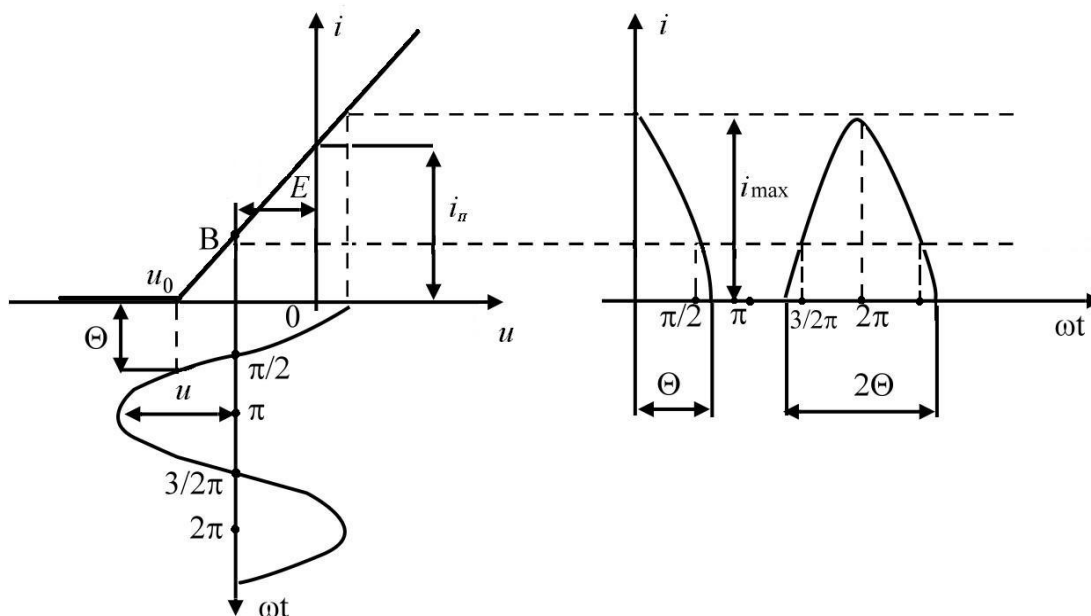
На фиг. 4.9 е дадена апроксимираната волт-амперна характеристика  $i=f(u)$ . Под нея е показана графиката на хармоничен входен сигнал  $U \cos \omega t$  при предварително избрано преднапрежение  $E$ , т.е.

$$u = E + U \cos \omega t \quad (4.25)$$

Големината на това преднапрежение определя местоположението на работната точка В върху волт-амперната характеристика. За да се получи нелинейно преобразуване на входния сигнал работната точка се избира така, че да се изпълни неравенството

$$u > |u_0 - E|, \quad (4.26)$$

където  $u_0$  е големината на запушващото напрежение за даден прибор.



фиг. 4.9

В дясно на фиг. 4.9 е показана графиката на изходния периодичен ток. Вижда се, че той протича само през част от периода

на косинусоидалния входен сигнал, който съответства на ъгъл  $2\theta$ . Половината от този ъгъл, т.е.  $\theta$ , изразен в градуси или радиани се нарича ъгъл на отсечката на тока.

От фиг.4.9 е очевидно, че големината на протичащия изходен ток зависи от ъгъл  $\theta$ , т.е. от преднапрежението  $E$ , напрежението на запусване  $u_0$ , амплитудата на изходното напрежение  $u$  и стръмността на волт-амперната характеристика на активния прибор  $S$ . От вида на тази характеристика графически се определя токът на покой  $i_n$

$$i_n = S | u_0 | \quad (4.27)$$

Целта на този метод е да се определи големината на амплитудата на хармоничните съдържащи се в изходния периодичен ток, в зависимост от ъгълът на отсечка  $\theta$ .

От фиг. 4.9 се вижда, че ток в изходната верига протича в интервалите  $0 < \omega t < \theta$  и  $2\pi - \theta < \omega t < 2\pi$ . За тези участъци токът е

$$i = i_n + S u \quad (4.28)$$

Замествайки 4.25 в 4.28 се получава

$$i = i_n + S E + S U \cos \omega t \quad (4.29)$$

Отчитайки, че при  $\omega t = \theta$ ,  $i = 0$ , може да се изрази изменението на тока  $i = f(\theta)$  имайки напредвид 4.29

$$0 = i_n + S E + S U \cos \theta \quad (4.30)$$

$$i = S U (\cos \omega t - \cos \theta) \quad (4.31)$$

От 4.30 може да се определи големината на ъгъл  $\theta$

$$\cos \theta = - \frac{S E + i_n}{S U} = - \frac{E - u_0}{U} \quad (4.32)$$

Максималната стойност на изходния ток  $i_{max}$  се получава при  $\omega t = 0$ , имайки напредвид общия израз за тока 4.31

$$i_{max} = S U (1 - \cos \theta) \quad (4.33)$$

Амплитудите на хармоничните на периодичния ток и постоянната съставка  $I_0$  се определят с помощта на 4.3. Необходимо е да се смени променливата величина  $t$  с  $\omega t$  и границите с  $-\theta$  / и  $+\theta$  /:

$$I_0 = \frac{1}{2\pi} \int_{-\theta}^{\theta} I_{max} \frac{\cos \omega t - \cos \theta}{1 - \cos \theta} d\omega t = I_{max} \alpha_0(\theta) \quad (4.43)$$

$$I_{1m} = \frac{1}{\pi} \int_{-\theta}^{\theta} I_{max} \frac{\cos \omega t - \cos \theta}{1 - \cos \theta} \cos \omega t d\omega t = I_{max} \alpha_1(\theta)$$

$$I_{1n} = \frac{1}{\pi} \int_{-\theta}^{\theta} I_{max} \frac{\cos \omega t - \cos \theta}{1 - \cos \theta} \cos n \omega t d\omega t = I_{max} \alpha_n(\theta),$$

където

$$\alpha_0(\theta) = \frac{\sin \theta - \theta \cos \theta}{n(1 - \cos \theta)}; \alpha_1(\theta) = \frac{\theta - \sin \theta \cos \theta}{n(1 - \cos \theta)}$$

$$\alpha_n(\theta) = \frac{2(\sin n\theta \cos \theta - n \cos n\theta \sin \theta)}{\pi n(n^2 - 1)(1 - \cos \theta)} \quad (4.35)$$

Изразите 4.35 се наричат *коэффициенти на Берг*. В същност те изразяват нормираните амплитуди на хармоничните и постоянната съставка, т.е.

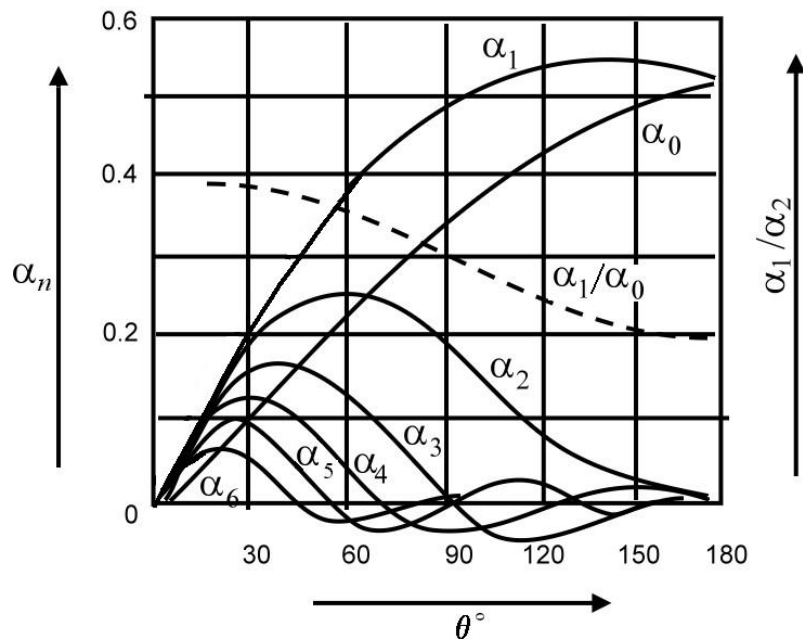
$$\alpha_0(\theta) = \frac{I_0}{I_{\max}} \quad \alpha_1(\theta) = \frac{I_{1m}}{I_{\max}} \quad \dots \quad \alpha_n(\theta) = \frac{I_{nm}}{I_{\max}}$$

По този начин амплитудата на хармоничната с номер  $n$  може да се определи със съотношението

$$I_{nm} = \alpha_n(\theta) I_{\max} \quad (4.36)$$

На фиг. 4.10 са начертани графиките на някои от тези коэффициенти. Вижда се, че максималната амплитуда за дадена хармонична може да се получи, ако се подбере подходящ (оптимален) ъгъл

$$\theta_{n \text{ opt}} \approx \frac{120^\circ}{n} \quad (4.37)$$



фиг. 4.10

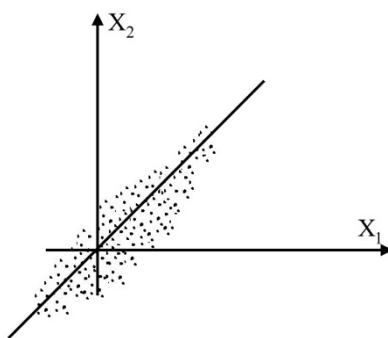
Точните стойности на коефициентите на Берг могат да се намерят от таблици, които често се срещат в специализираната литература.

Последната зависимост е от много голямо значение особено при пресмятането на умножители на честота и усилватели на мощност.

#### 4.4. Корелационен анализ на детерминирани сигнали

Нека да предположим, че се провеждат серия опити, в резултат на които всеки път се наблюдава двумерна случайна величина  $\{x_1, x_2\}$ . Освен това, нека изходът от всеки опит да се изобразява с точка върху една декартова равнина (фиг. 4.11).

Обикновено се оказва, че средното разположение на изобразяващите точки е по дължината на някаква мислена права, т.е. при всяко отделно изпитание величините  $x_1$  и  $x_2$  имат преди всичко еднакъв знак. Това ни навежда на мисълта за това, че между  $x_1$  и  $x_2$  има статистическа връзка наречена *корелационна*. За функционалната връзка между двете променливи величини  $x_1$  и  $x_2$  е характерно еднозначно съответствие. Известна ли е величината  $x_1$  може да се определи величината  $x_2$  и обратно.



фиг. 4.11

Възможен е и случай на съвършено хаотично разположение на точките върху равнината. Такива величини се наричат *некорелирани*, т.е. между тях няма вероятностна устойчива връзка.

Наред със спектралния метод при описанието на детерминирани сигнали на практика често пъти е необходима характеристика, която да дава представа за някои свойства на сигнала, в частност за скоростта му на изменение във времето, а също така и за

продължителността на сигнала без той да се разлага на хармонични съставлящи.

В качеството на временна характеристика на сигнала широко се използва понятието *корелационна функция*.

Корелационните функции имат много голямо приложение както при анализа на детерминирани сигнали, така и при анализа на случайни сигнали. Благодарение на тях може да се открие скритата зависимост при изследването на процесите, да се определи степента на влияние между различните параметри и да се решат редица практически задачи.

Нека  $S(t)$  да е сумарният сигнал, съставен от два периодични сигнала  $S_1(t)$  и  $S_2(t)$  с период  $T$ . Освен това нека вторият сигнал да е изместен във времето с  $\tau$  така, че

$$S(t) = S_1(t) + S_2(t + \tau) \quad (4.38)$$

Средната мощност за един период е

$$P = \frac{1}{T} \int_{-T/2}^{T/2} [S_1(t) + S_2(t + \tau)]^2 dt = \frac{1}{T} \int_{-T/2}^{T/2} S_1^2(t) dt + \quad (4.39)$$

$$+ \frac{2}{T} \int_{-T/2}^{T/2} S_1(t) S_2(t + \tau) dt + \frac{1}{T} \int_{-T/2}^{T/2} S_2^2(t + \tau) dt = P_{S_1} + 2\psi + P_{S_2}$$

В горния израз  $P_{S_1}$  и  $P_{S_2}$  са средните мощности за всеки от сигналите, а  $\psi$  е *корелационната функция*, т.е.

$$\psi = \frac{1}{T} \int_{-T/2}^{T/2} S_1(t) S_2(t + \tau) dt \quad (4.40)$$

Когато  $\psi = 0$  сигналите  $S_1(t)$  и  $S_2(t)$  не се проявяват съгласувано във времето. Такива сигнали се наричат *некохерентни*.

Ако  $\psi > 0$ ,  $P > P_{S_1} + P_{S_2}$ . В този случай съществува често съвпадение на моментните стойности на сигналите по знак, като средната мощност на сигнала е по-голяма от сумата на мощностите на отделните сигнали.

В случая, когато  $\psi < 0$ , то  $P < P_{S_1} + P_{S_2}$ , което е равносилно на взаимното намаляване мощностите на сигналите.

Експерименталното изследване на корелационните връзки между сигналите се реализира с помощта на специални устройства, които се наричат *корелометри*.

За детерминиран сигнал  $S(t)$  с крайна продължителност, корелационната функция подобно на 4.40 може да бъде определена със следния израз:



$$B_s(\tau) = \int_{-\infty}^{\infty} S(t) S^*(t+\tau) dt, \quad (4.41)$$

където  $\tau$  е големината на дефазирането на сигнала във времето. Когато сигналът се явява реална функция на времето, означението на комплексно-спрегнатия сигнал може да се изпусне:

$$B_s(\tau) = \int_{-\infty}^{\infty} S(t) S(t+\tau) dt \quad (4.42)$$

От израза 4.42 се вижда, че  $B_s(\tau)$  характеризира степента на връзка (корелацията) на сигнала  $S(t)$  със своето копие, дефазирано с големината  $\tau$  по оста на времето. Ясно е, че функцията  $B_s(\tau)$  достига своя максимум при  $\tau=0$ , тъй като всеки сигнал е напълно корелиран със самия себе си. При това

$$B_s(0) = \int_{-\infty}^{\infty} S^2(t) dt = E, \quad (4.43)$$

т.е. максималната стойност на корелационната функция е равна на енергията на сигнала.

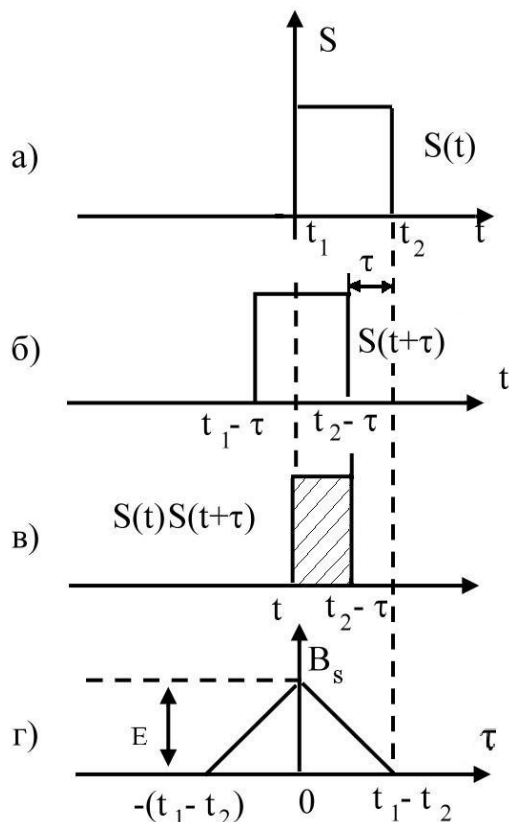
С увеличаването на  $\tau$  функцията  $B_s(\tau)$  намалява, (не винаги обаче монотонно) и при относително дефазиране на сигналите  $S(t)$  и  $S(t+\tau)$  с големина, превишаваща продължителността на сигнала, се обръща в нула.

На фиг. 4.12 е показано построяването на корелационна функция за прост сигнал във вид на правоъгълен импулс (фиг. 4.12 а). Дефазираният на  $\tau$  (по посока на изпреварването) сигнал  $S(t+\tau)$  е показан на фиг. 4.12 б. Произведението  $S(t).S(t+\tau)$  е показано на фиг. 4.12 в. Графиката на функцията  $B_s(\tau)$  е показана на фиг. 4.12 г. На всяка стойност на  $\tau$  съответства определено произведение  $S(t).S(t+\tau)$  и площ под графиката на функцията  $S(t).S(t+\tau)$ . Числените стойности на тези площи, за всяко  $\tau$ , дават ординатите на функцията.

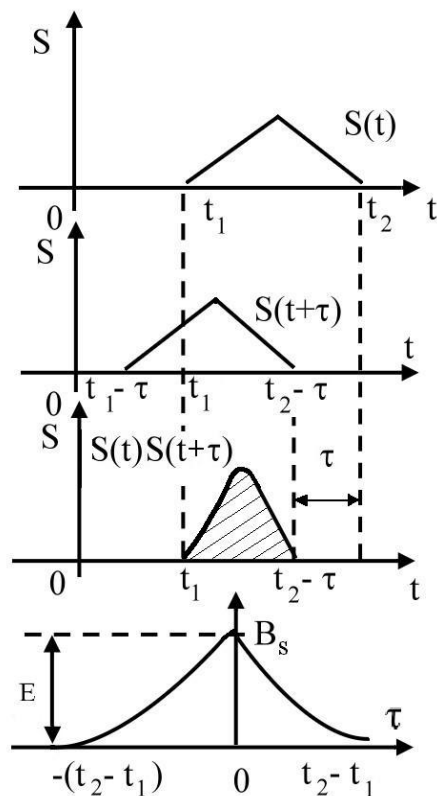
По аналогичен начин е извършено построяването на корелационната функция за триъгълен импулс, показан на фиг. 4.13. От общото определение за корелационната функция, а също и от показаните примери се вижда, че е безразлично дали наляво или надясно, спрямо своето копие, ще е дефиниран сигналът с големината на дефазирането във времето  $\tau$ . Ето защо изразът 4.42 може да се обобщи по следния начин:

$$B_s(\tau) = \int_{-\infty}^{\infty} S(t) S(t+\tau) dt = \int_{-\infty}^{\infty} S(t) S(t-\tau) dt \quad (4.42)$$

Това е равносилно на твърдението, че  $B_S(\tau)$  се явява четна функция на  $\tau$



фиг. 4.12



фиг. 4.13

Често пъти в литературата функцията  $B_S(\tau)$  се нарича *автокорелационна функция*, тъй като чрез нея е възможно да се съди за степента на връзка (корелация) между сигнала с неговото дефазувано във времето копие.

За един периодичен сигнал, енергията на който е безкрайно голяма, определението за корелационна функция с помощта на изразите 4.42 и 4.44 не е коректно. В този случай трябва да се изхожда от следните определения:

$$\begin{aligned}
 B_{S \text{ nep}}(\tau) &= \lim_{T \rightarrow \infty} \frac{1}{T} \int_{-T/2}^{T/2} S(t) S(t+\tau) dt = \\
 &= \lim_{T \rightarrow \infty} \frac{1}{T} \int_{-T/2}^{T/2} S(t) S(t-\tau) dt
 \end{aligned}
 \tag{4.45}$$

При такова определение корелационната функция придобива размерността на мощност като  $B_{S \text{ nep}}(0)$  е равна на средната мощност

на периодичния сигнал. Като се има напредвид периодичността на сигнала  $S(t)$ , който е усреднен чрез произведението  $S(t) \cdot S(t + \tau)$ , или чрез  $S(t) \cdot S(t - \tau)$  проведено върху безкрайно голям отрязък от времето  $t$ , той трябва да съвпада с усреднението за един период  $T_1$ . Ето защо изразът 4.45 може да се замени със следния израз:

$$B_{S_{nep}}(\tau) = \frac{1}{T_1} \int_{-T_1/2}^{T_1/2} S(t) S(t + \tau) dt = \frac{1}{T_1} \int_{-T_1/2}^{T_1/2} S(t) S(t - \tau) dt \quad (4.46)$$

Влизащите в горния израз интеграли не са нищо друго, а корелационната функция на сигнала в интервала  $T_1$ . Обозначавайки я чрез  $B_{ST1}(\tau)$  се стига до съотношението

$$B_{S_{nep}}(\tau) = B_{ST1}(\tau) / T_1 \quad (4.47)$$

От 4.47 следва твърдението, че на периодичен сигнал съответства и периодична корелационна функция  $B_{S_{nep}}(\tau)$ , като периодът на функцията  $B_{S_{nep}}(\tau)$  съвпада с периода  $T$  на изходния сигнал  $S(t)$ . Така например, за прост хармоничен сигнал  $S(t) = A_0 \cos(\omega_0 t + \theta_0)$ , корелационната функция е:

$$B_{S_{nep}}(\tau) = \frac{A_0^2}{T} \int_{-T/2}^{T/2} \cos(\omega_0 t + \theta_0) \cos[\omega_0 (t + \tau) + \theta_0] dt = \frac{1}{2} A_0^2 \cos \omega_0 \tau$$

$$\omega_0 = \frac{2\pi}{T_1} \quad (4.48)$$

При  $\tau=0$ ,  $B_{S_{nep}}(0) = \frac{1}{2} A_0^2$ , което представлява средната мощност на хармонично колебание с амплитуда  $A_0$ . Важно е да се отбележи, че корелационната функция  $B_{S_{nep}}(\tau)$  не зависи от началната фаза на колебанията.

За оценка на степента на връзка между два различни сигнала  $S_1(t)$  и  $S_2(t)$  се използва *взаимно-корелационната функция*, определена с общия израз:

$$B_{S_1 S_2}(\tau) = \int_{-\infty}^{\infty} S_1(t) S_2^*(t + \tau) dt \quad (4.49)$$

Когато функциите  $S_1(t)$  и  $S_2(t)$  са реални:

$$B_{S_1 S_2}(\tau) = \int_{-\infty}^{\infty} S_1(t) S_2(t + \tau) dt \quad (4.50)$$

Разгледаната по-горе корелационна функция  $B_S(\tau)$  се явява частен случай на функцията  $B_{S_1 S_2}(\tau)$ , когато  $S_1(t) = S_2(t)$ .

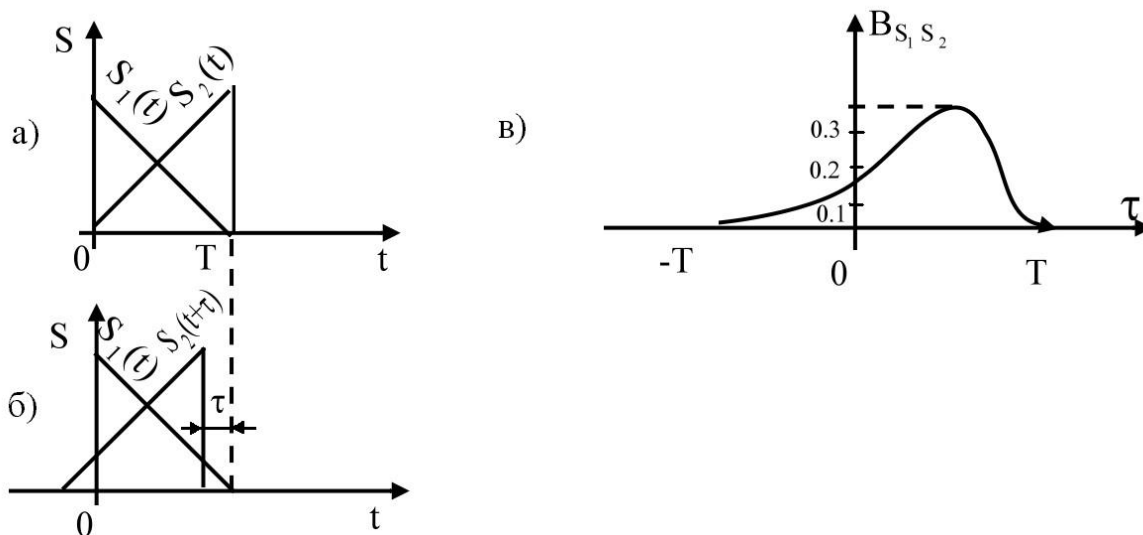
Построяването на взаимно-корелационната функция на два сигнала  $S_1(t)$  и  $S_2(t)$  е показано на фиг. 4.14. Изходното положение на

сигналите  $/\tau=0/$  е показано на фиг. 4.14 а. При дефазирание на сигнала  $S_2(t)$  наляво ( $\tau > 0$ , фиг. 4.14 б), корелационната функция отначало нараства, след което намалява до нула при  $\tau=T$ . При дефазирание надясно  $/\tau < 0/$  корелационната функция веднага намалява. В резултат на това тя се получава асиметрична спрямо ординатната ос на функцията  $B_{S_1, S_2}$  (фиг. 4.14 в).

Очевидно е, че стойността на  $B_{S_1, S_2}$  не се изменя, ако вместо изпреварването на сигнала  $S_2(t)$  се даде задръжка на сигнала  $S_1(t)$ . Ето защо 4.50 може да се обобщи по следния начин:

$$B_{S_1, S_2}(\tau) = \int_{-\infty}^{\infty} S_1(t) S_2(t + \tau) dt = \int_{-\infty}^{\infty} S_1(t - \tau) S_2(t) dt \quad (4.51)$$

Трябва обаче да се различават изразите 4.44 и 4.51.



фиг. 4.14

За разлика от  $B_S(\tau)$  взаимно-корелационната функция не е задължително да се явява четна спрямо  $\tau$ . Освен това, взаимно-корелационната функция не е задължително да достига максимум при  $\tau = 0$ . Тези две свойства на функцията  $B_{S_1 S_2}(\tau)$  са илюстрирани на фиг. 4.14.